

1/23

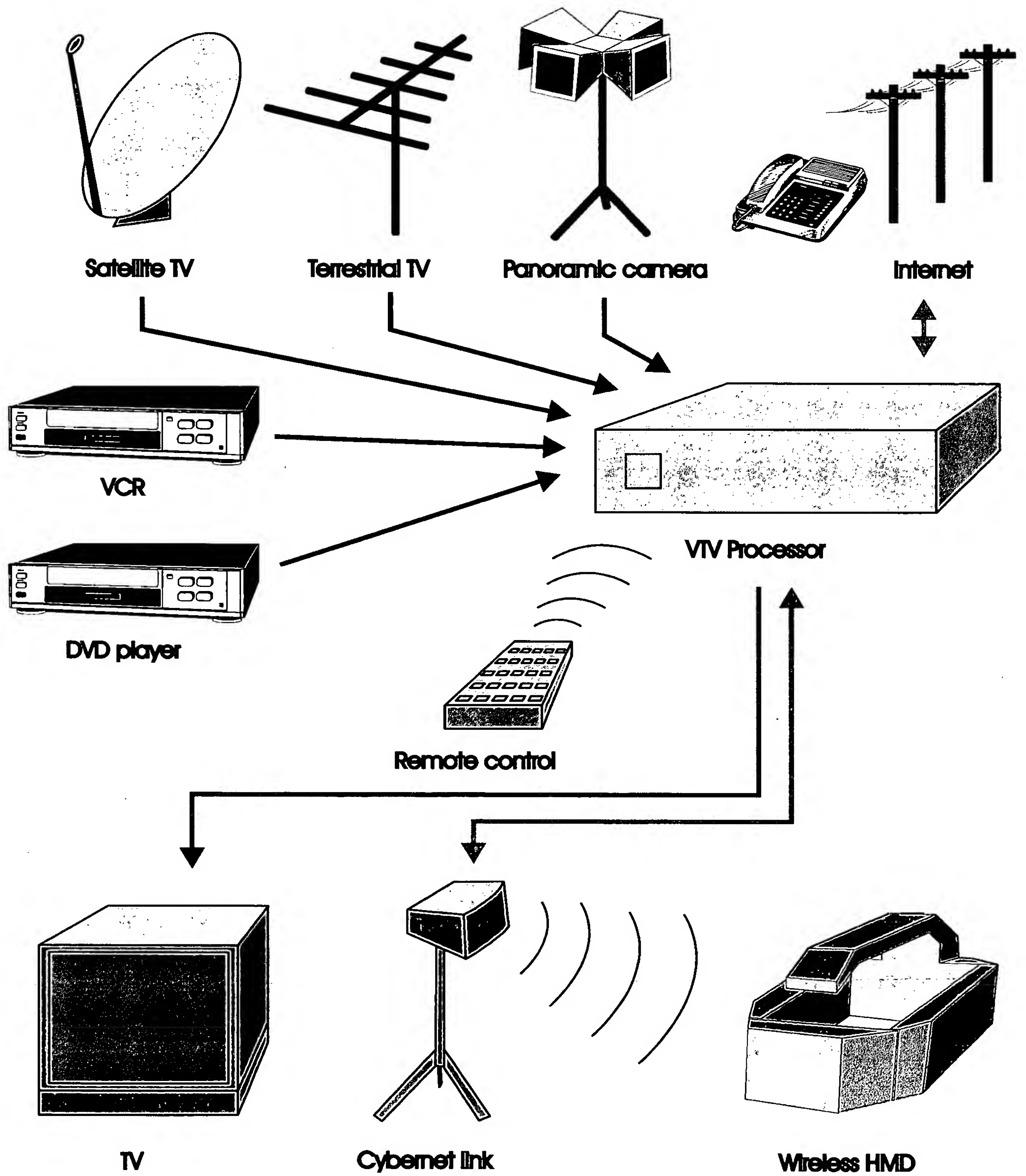


Fig. 1

2/23

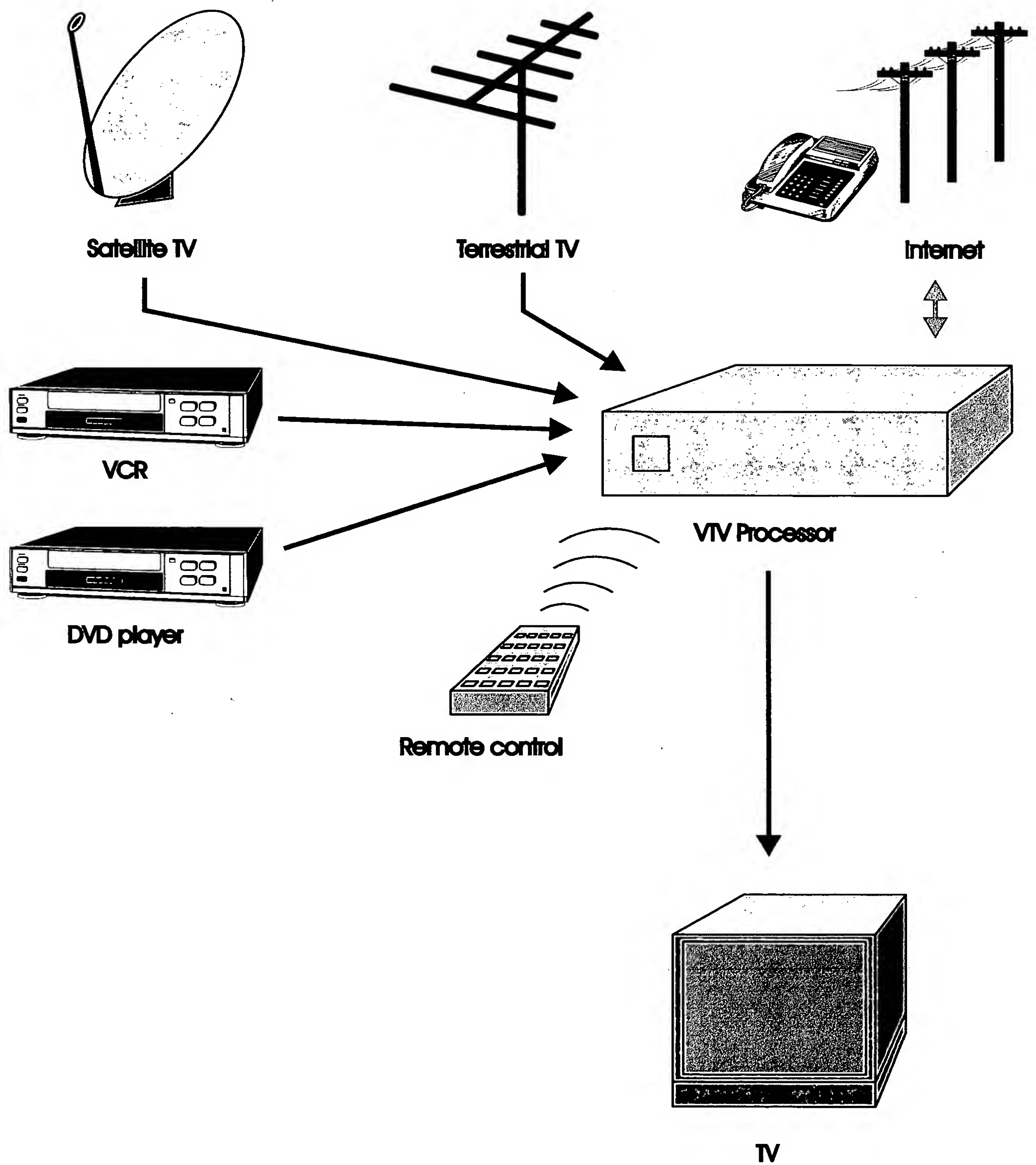


Fig. 2

3/23

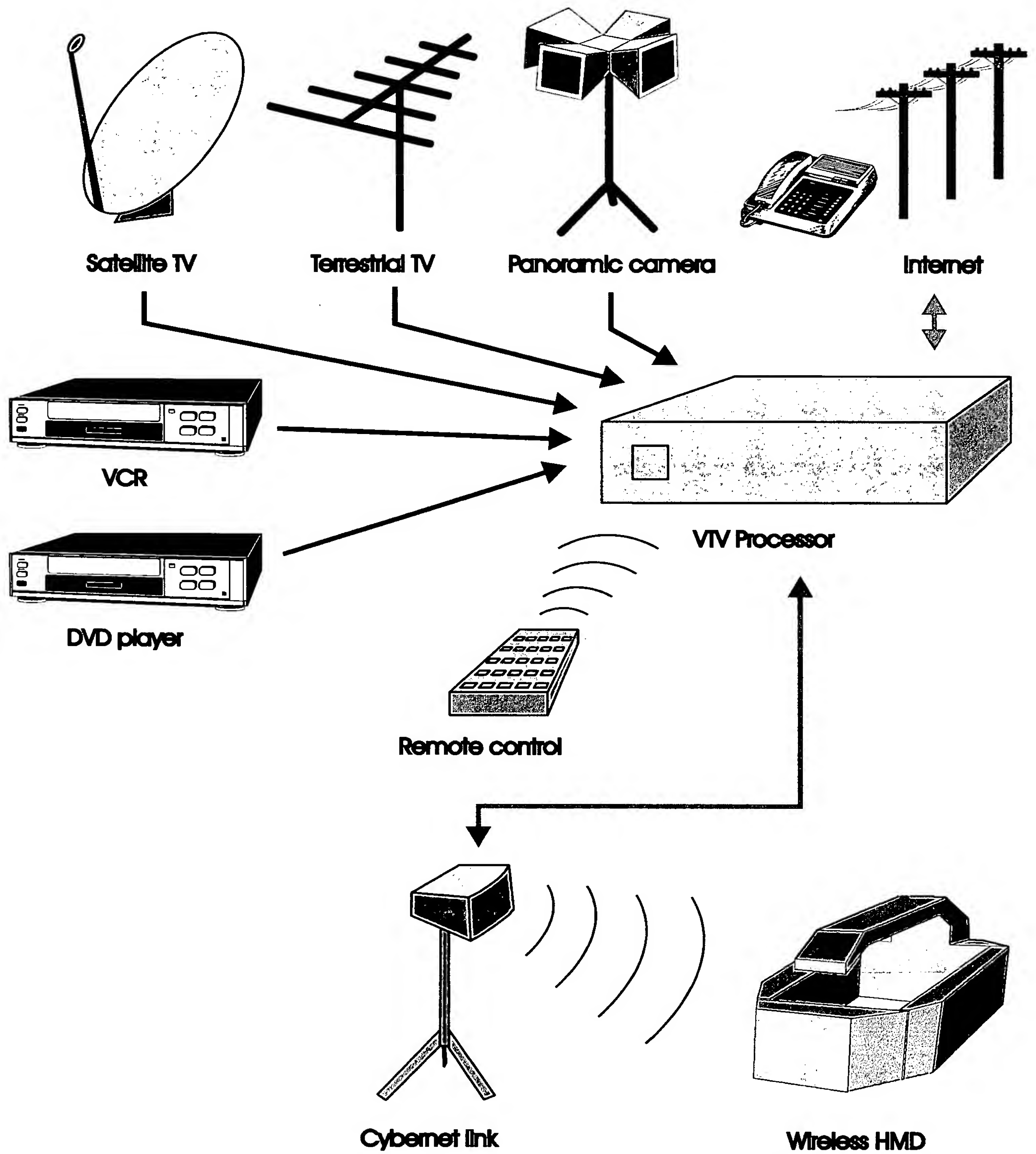


Fig. 3

4/23

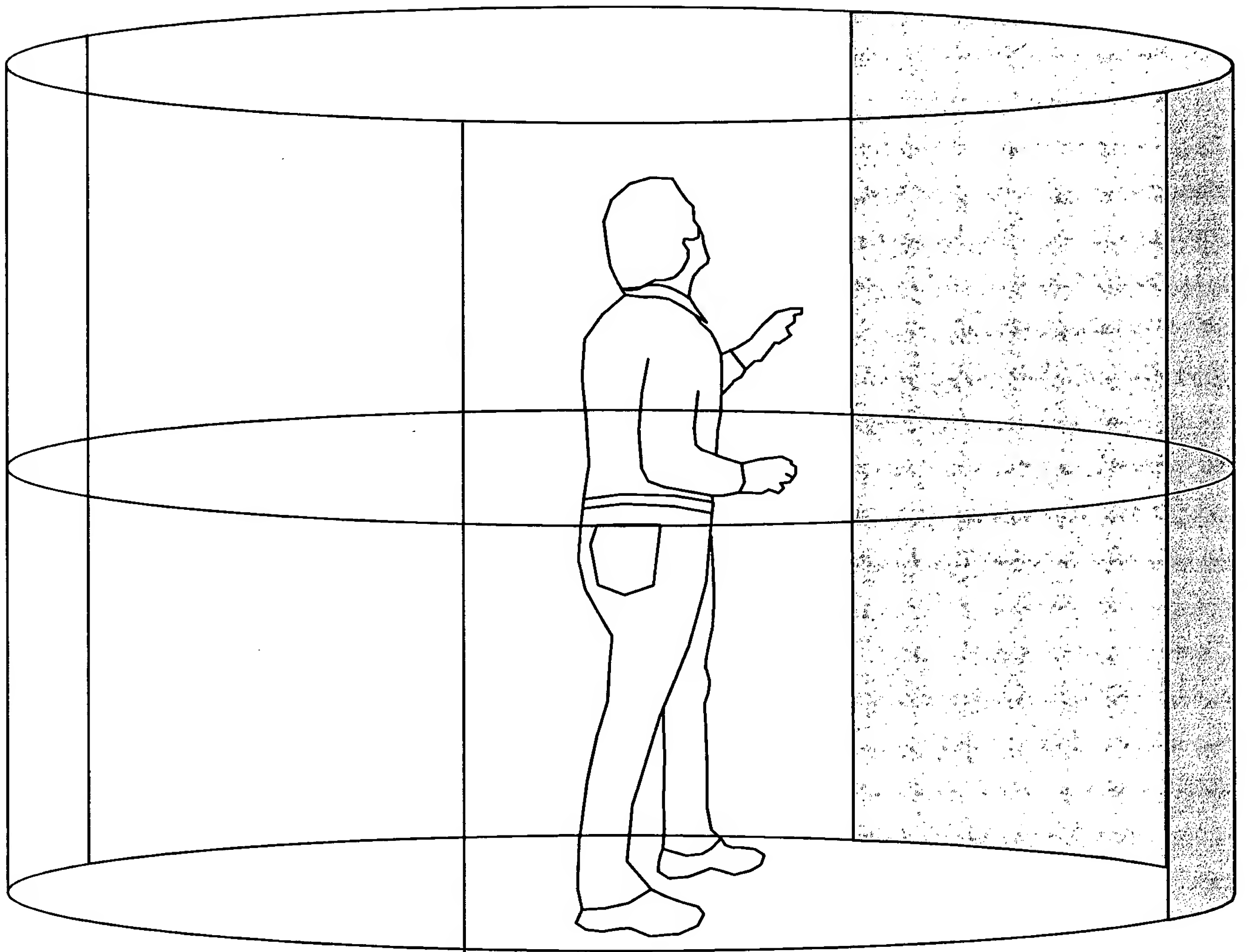


Fig. 4

5/23

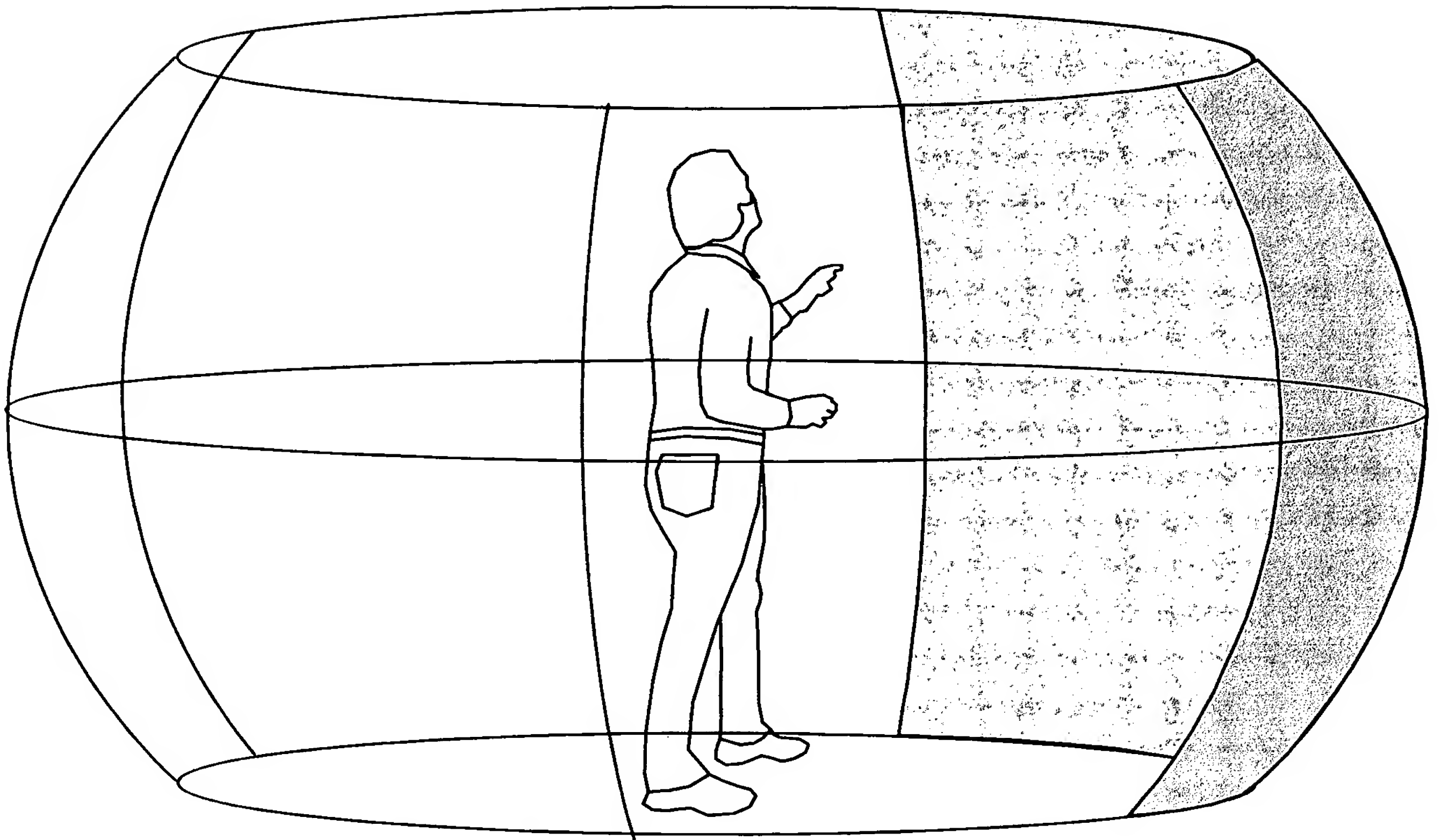


Fig. 5

6/23

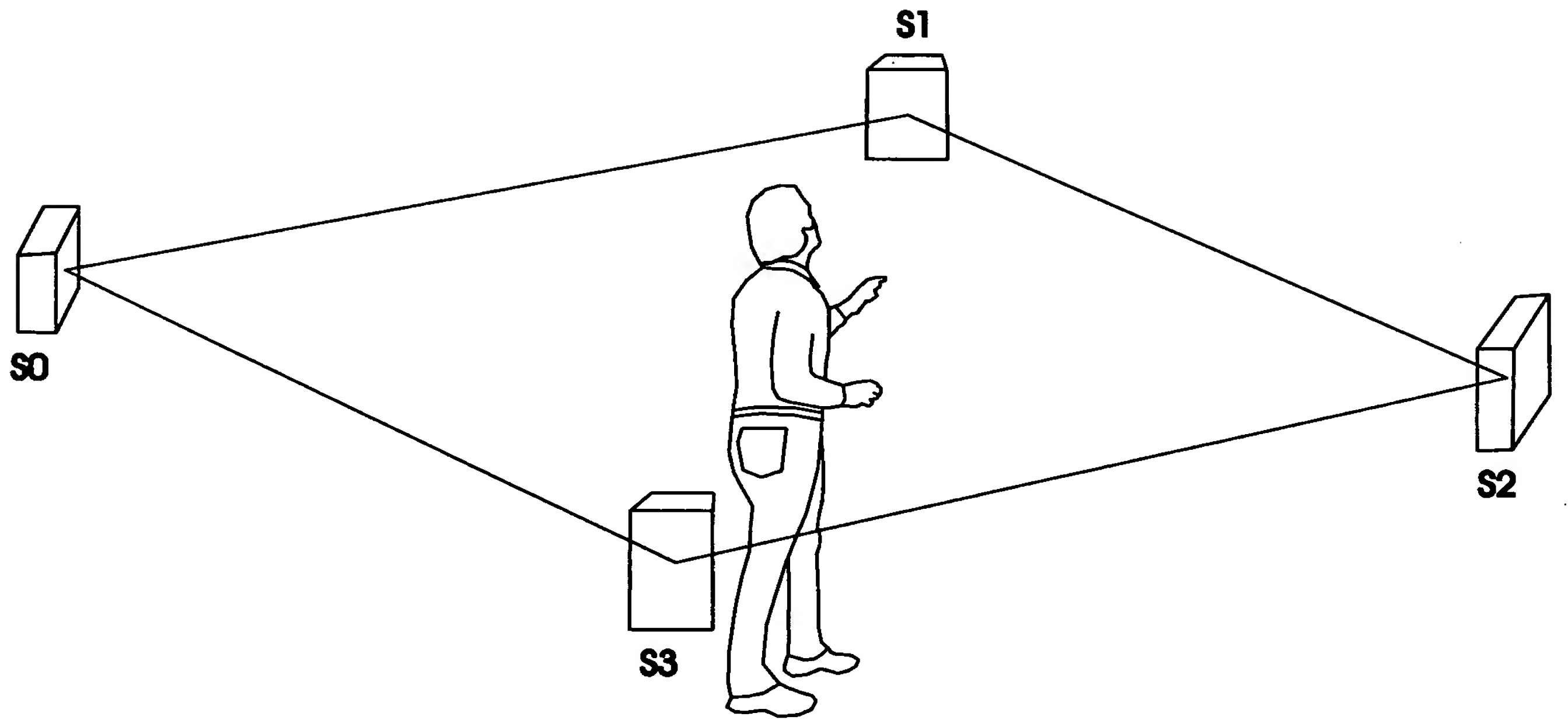


Fig. 6

7/23

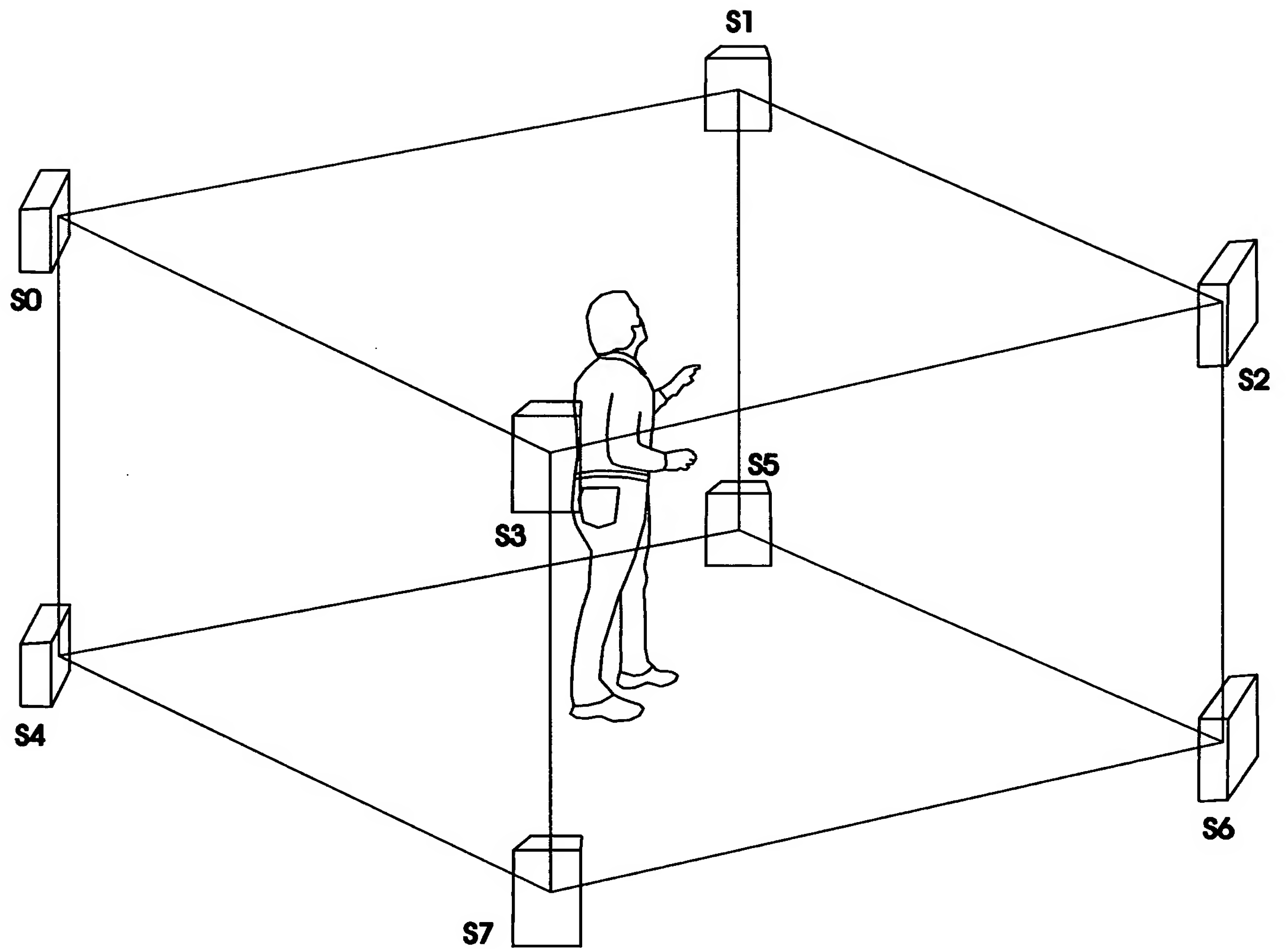


Fig. 7

8/23

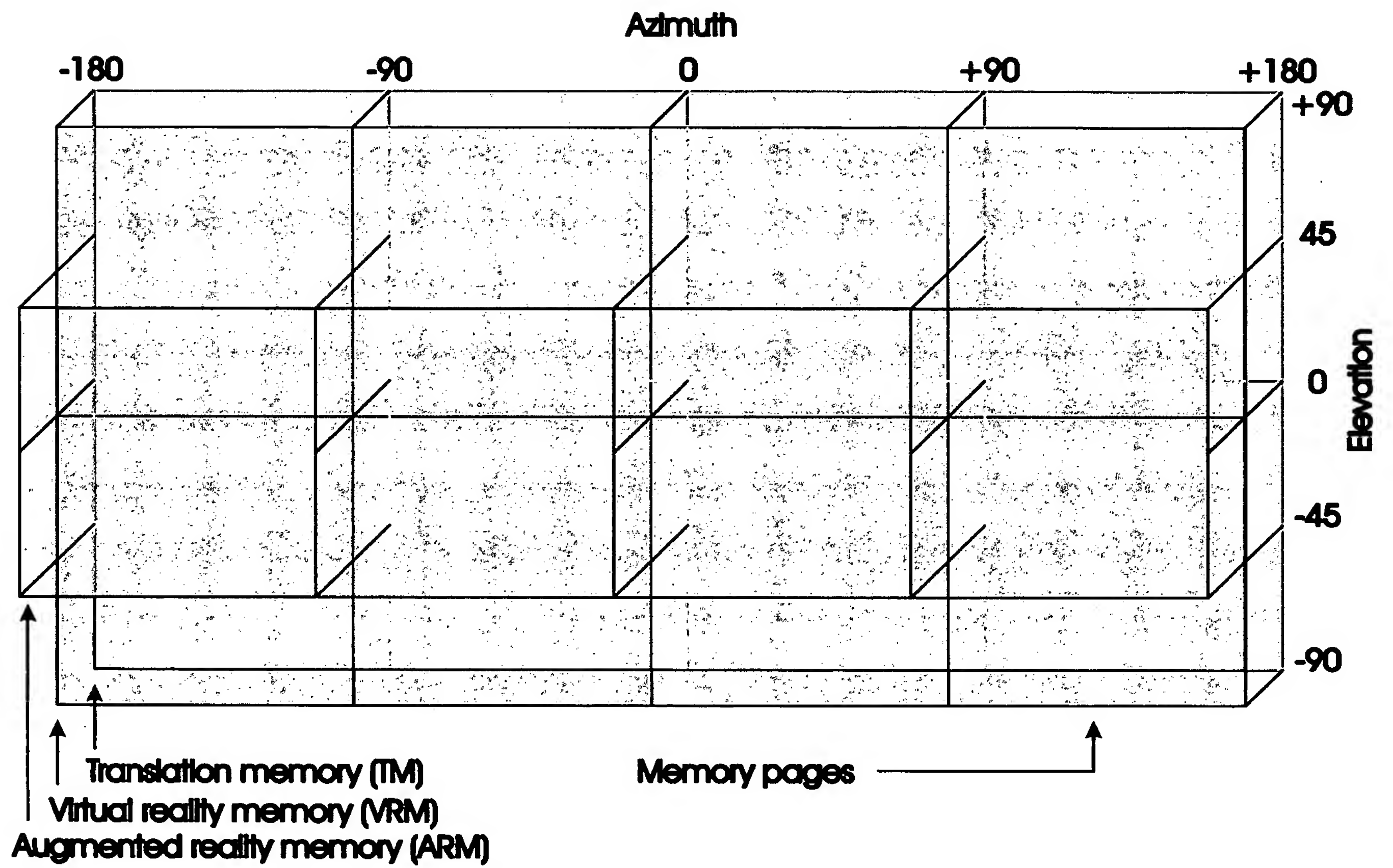


Fig. 8

9/23

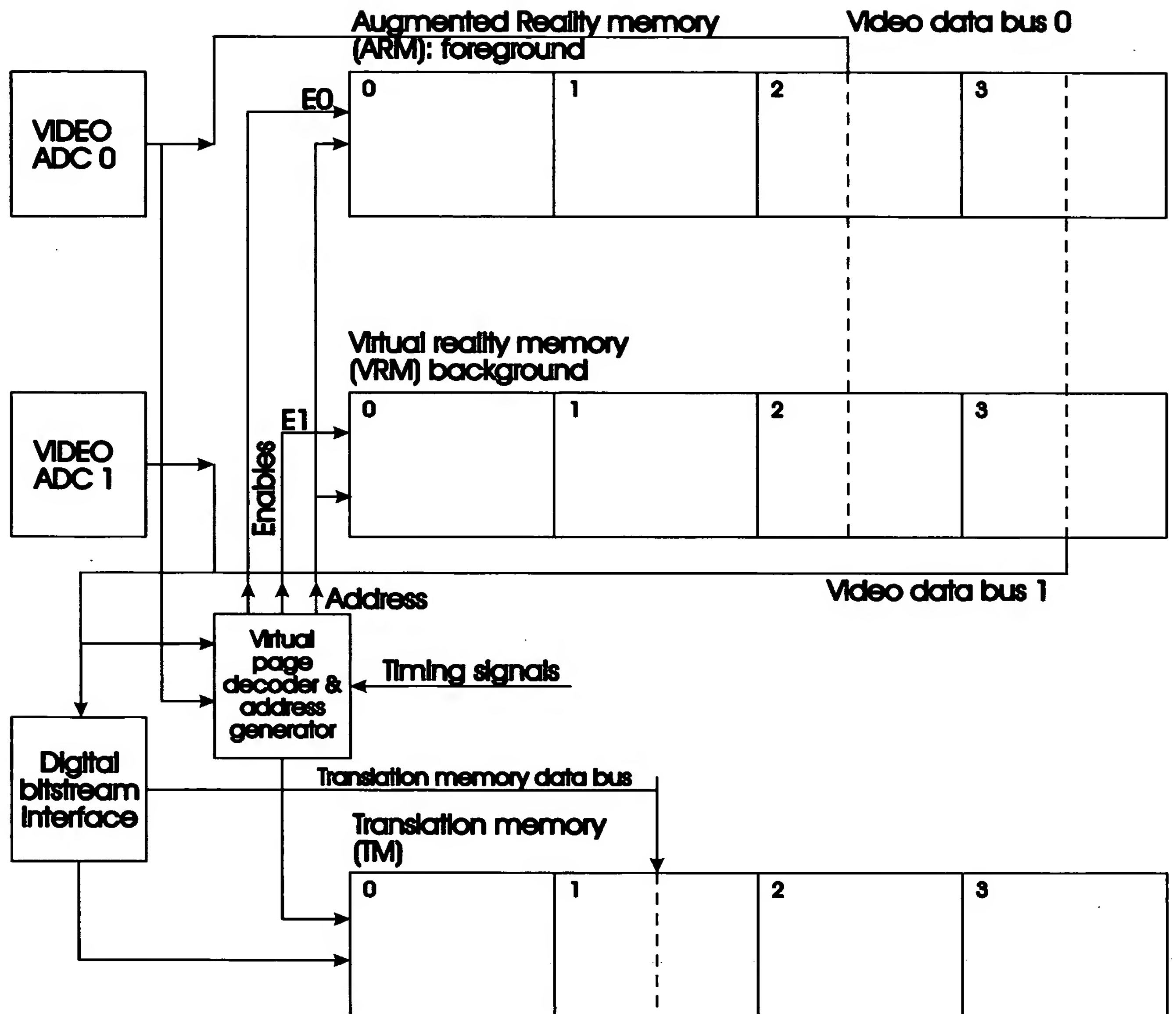


Fig. 9

10/23

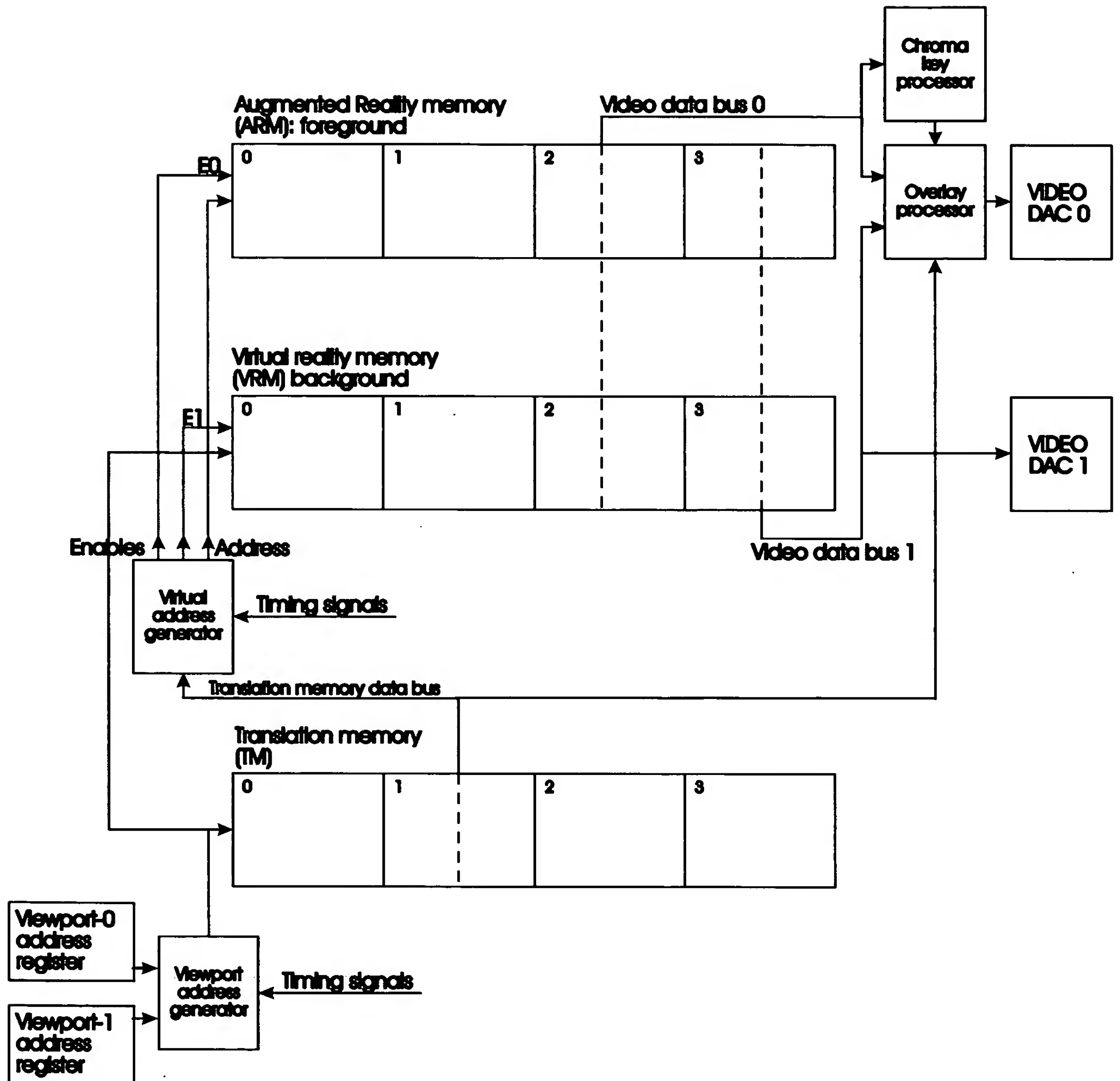


Fig. 10

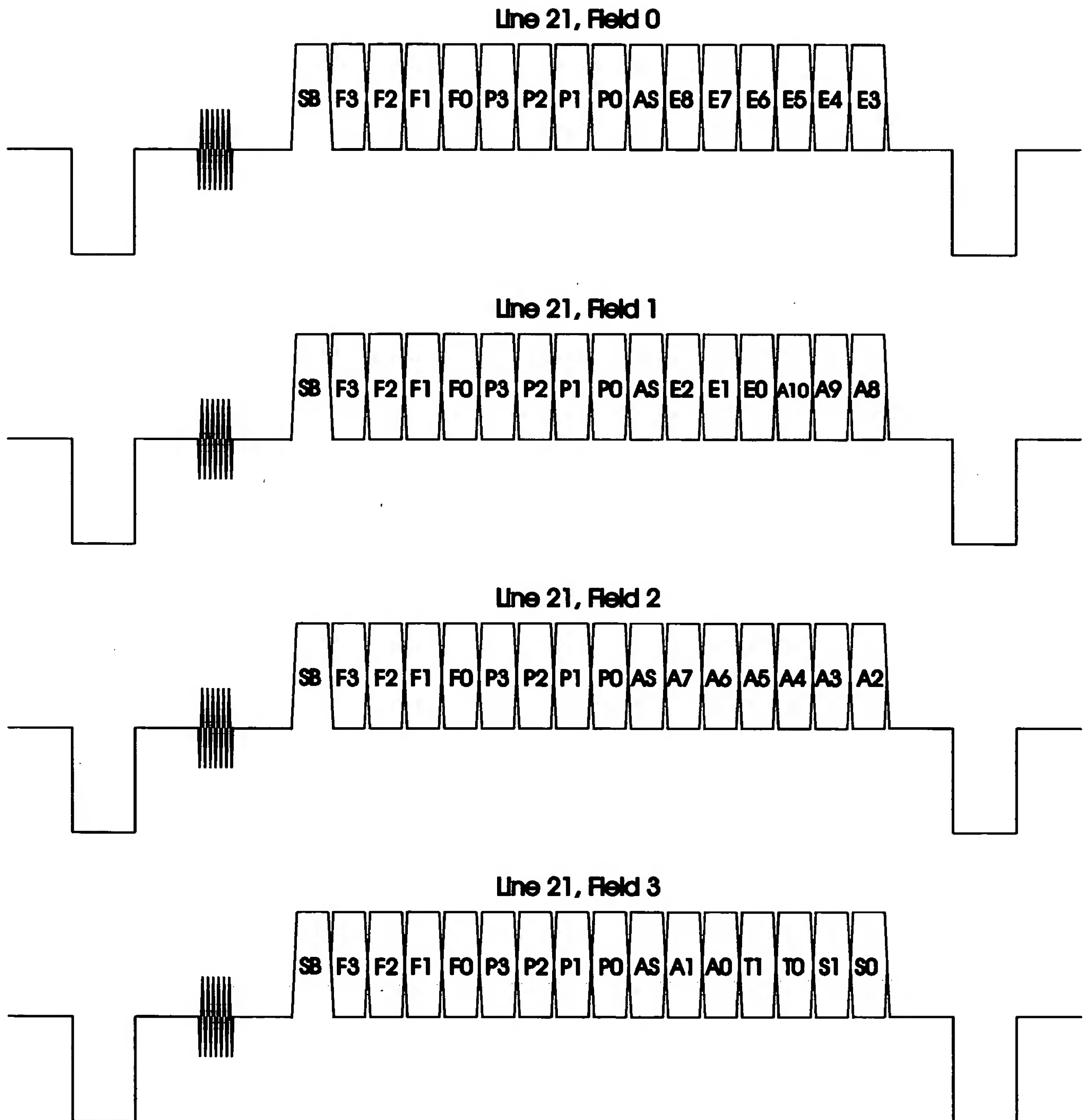


Fig. 11

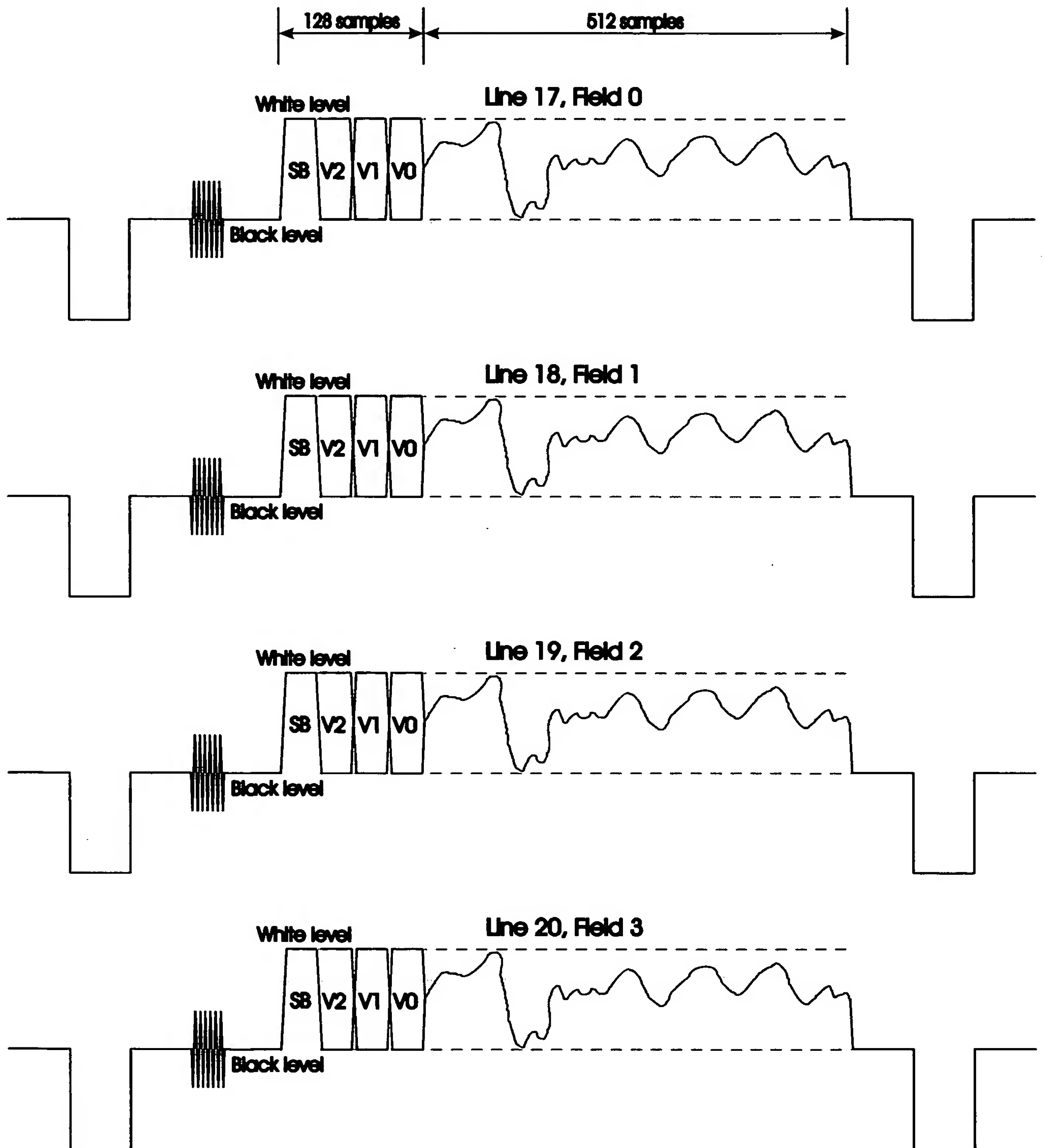


Fig. 12

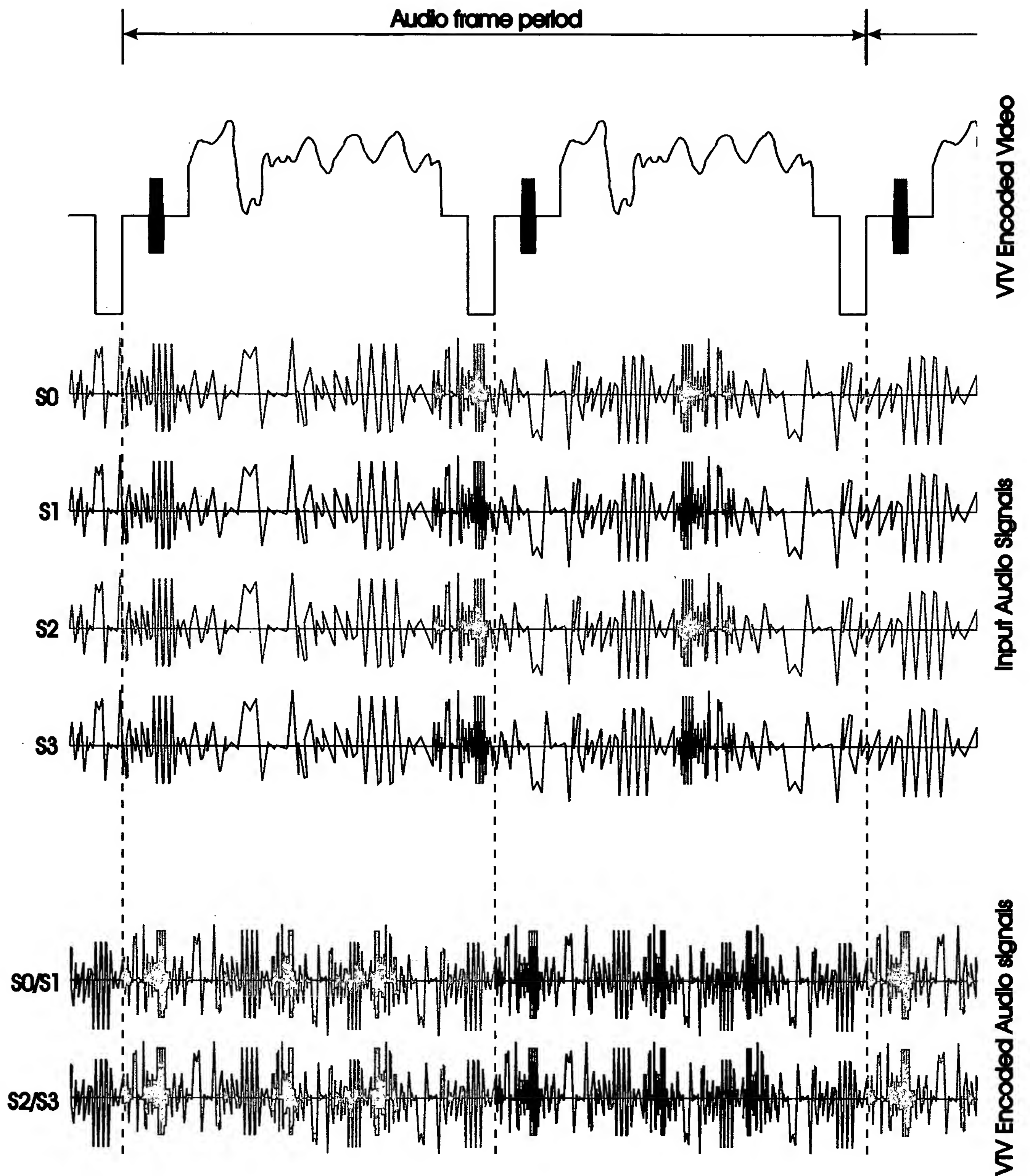


Fig. 13

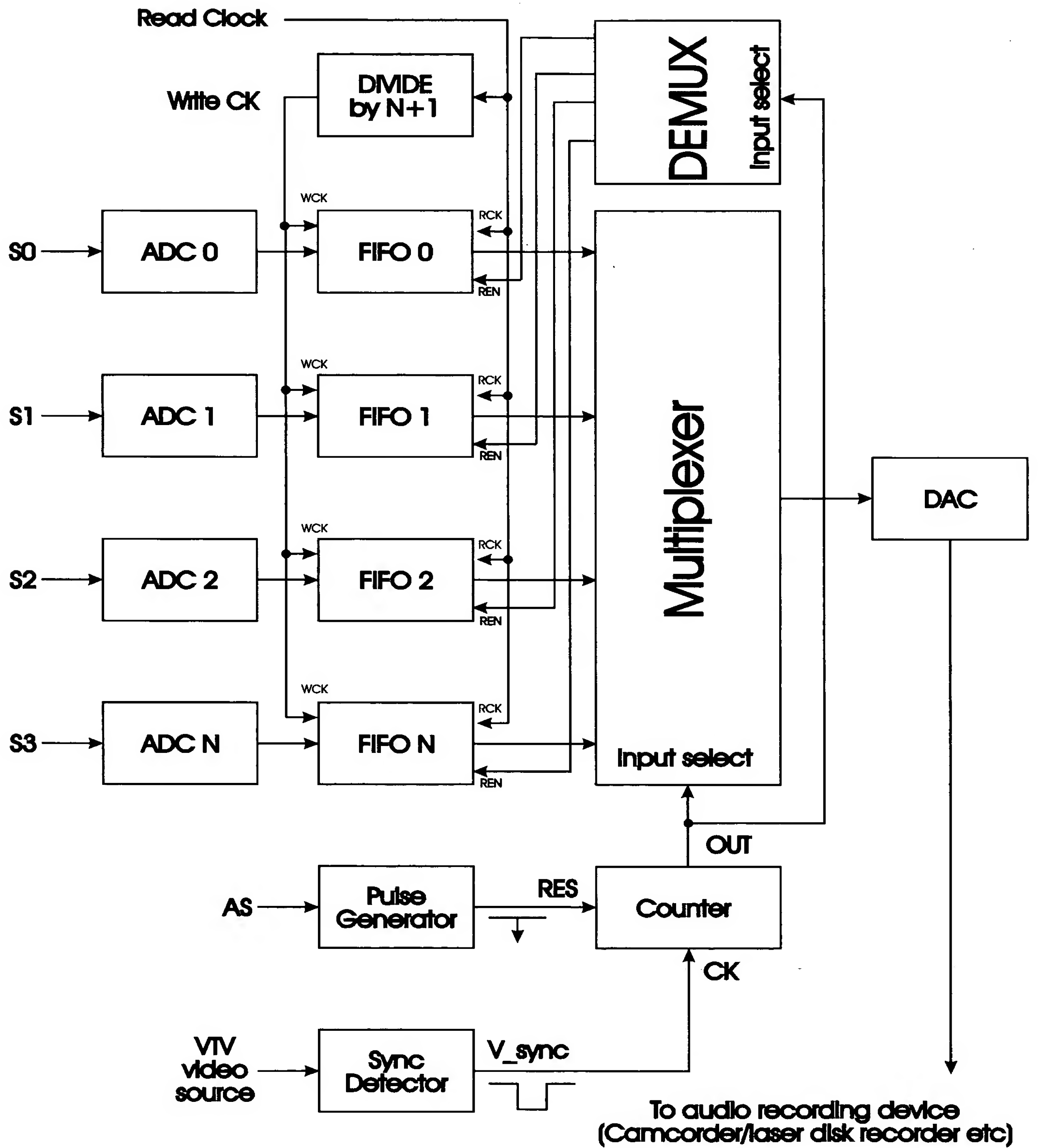


Fig. 14

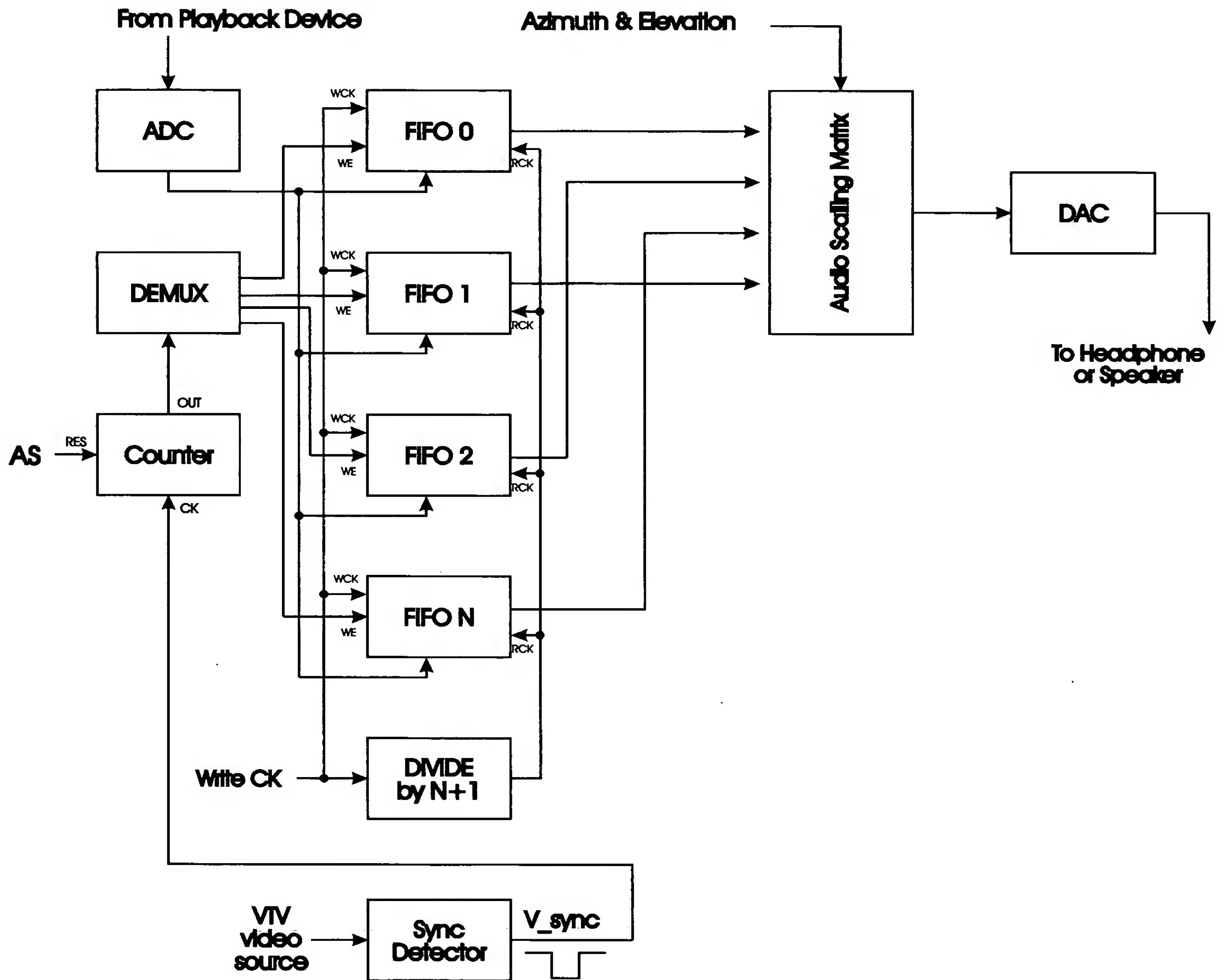


Fig. 15

16/23

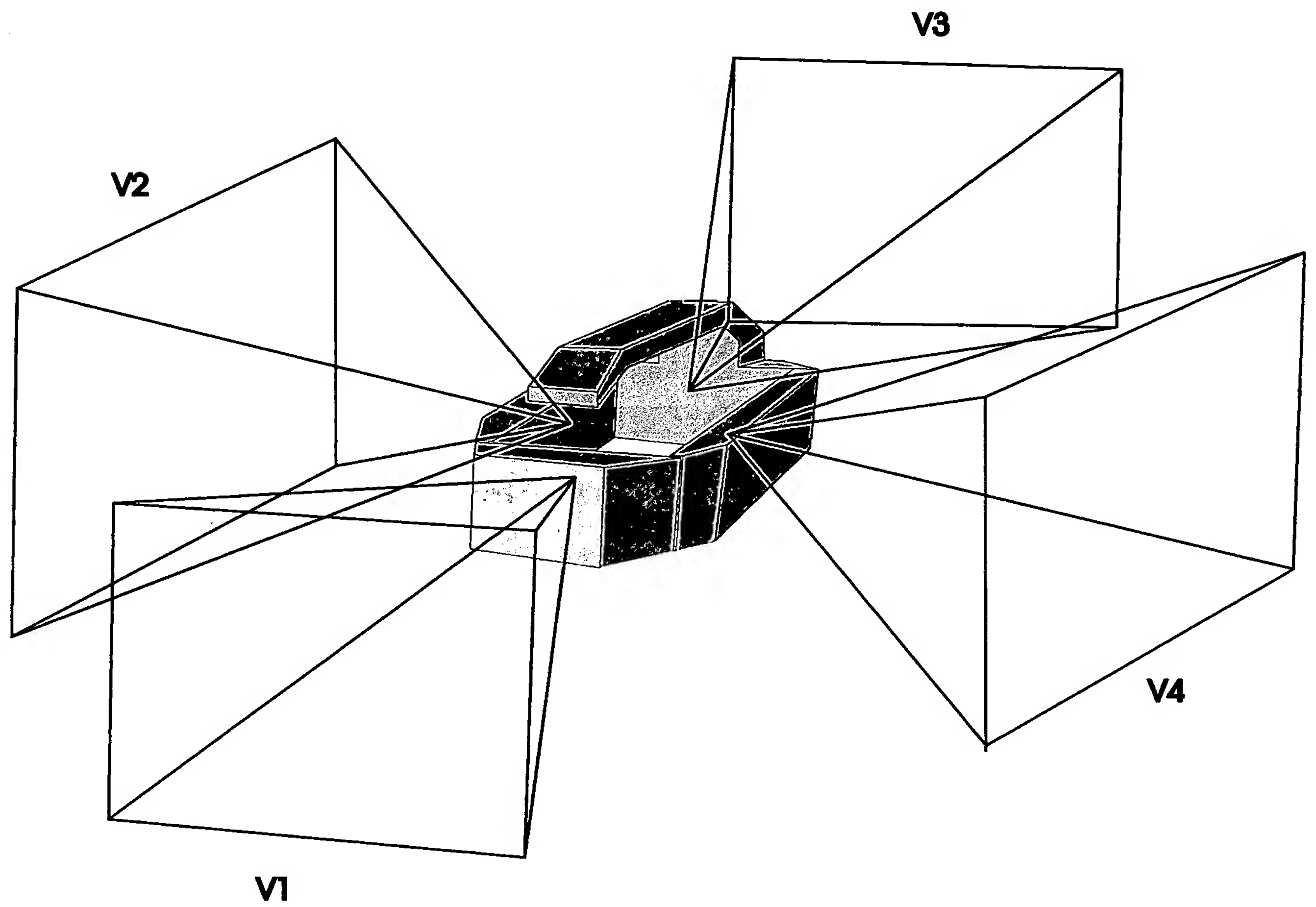


Fig. 16

17/23

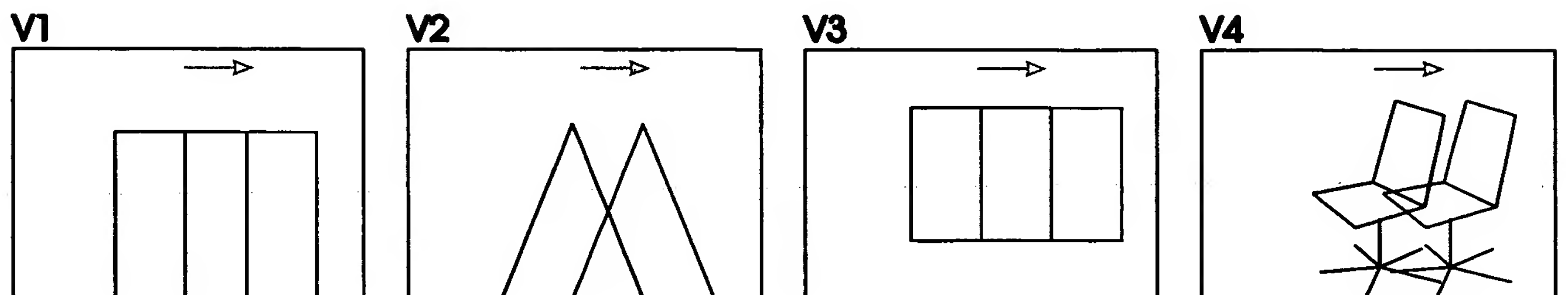
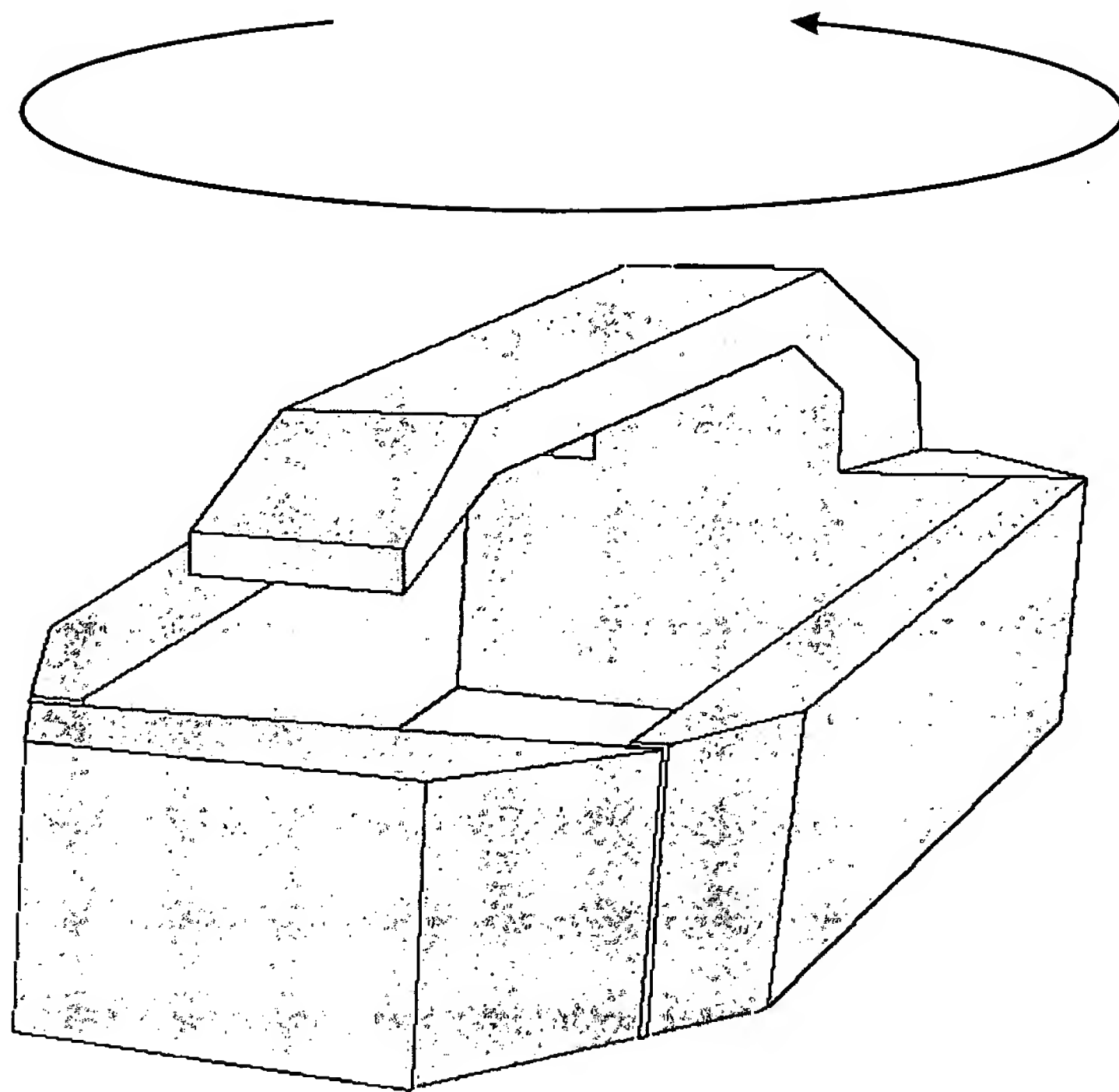


Fig. 17

18/23

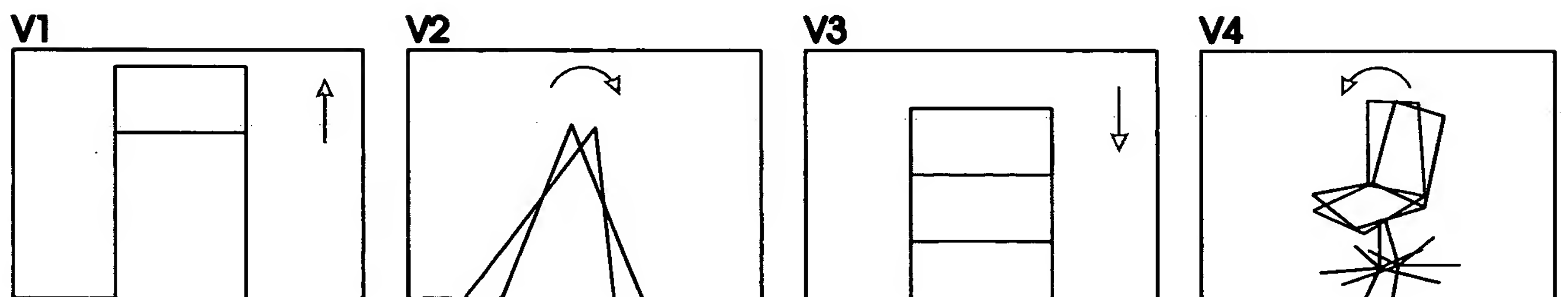
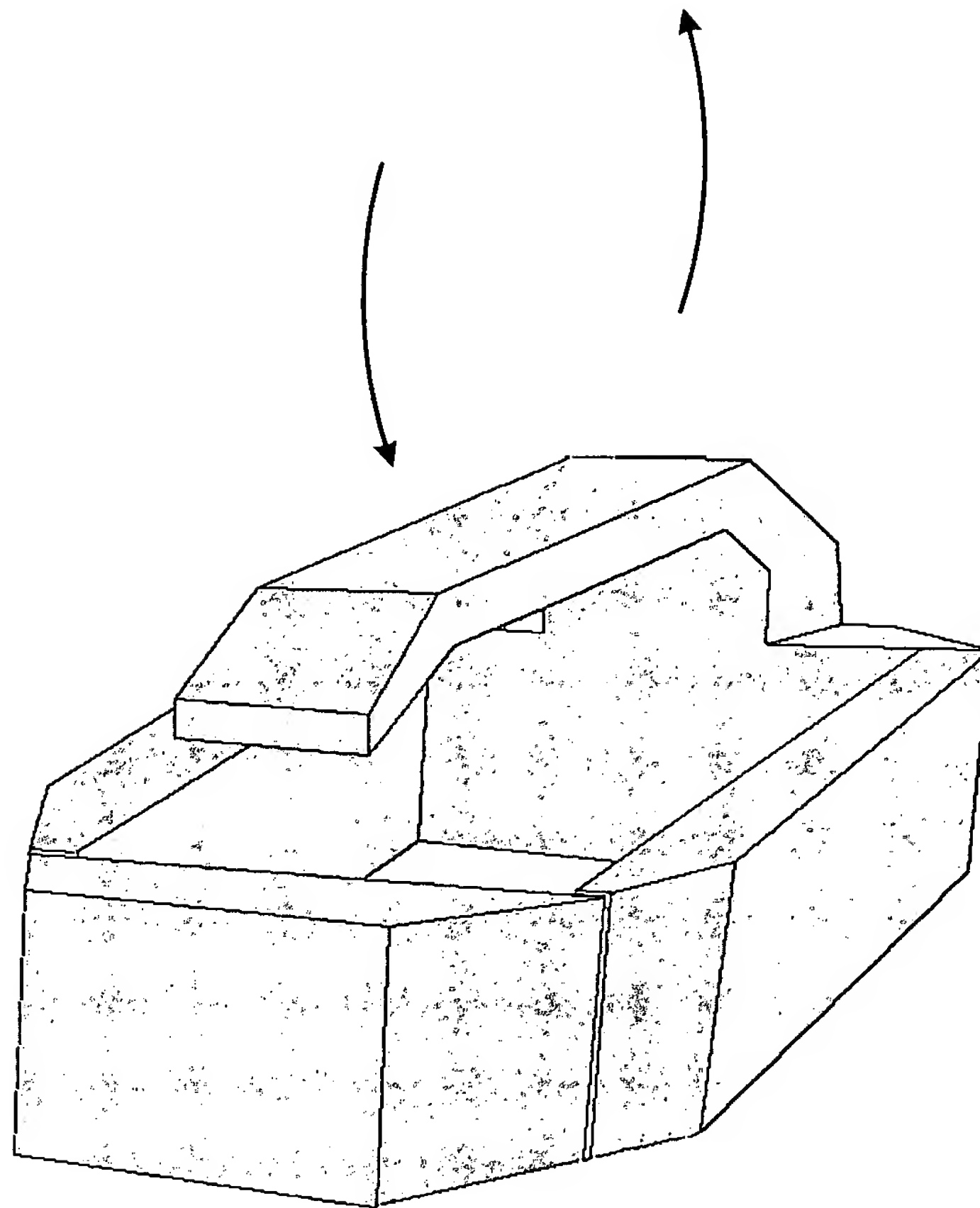
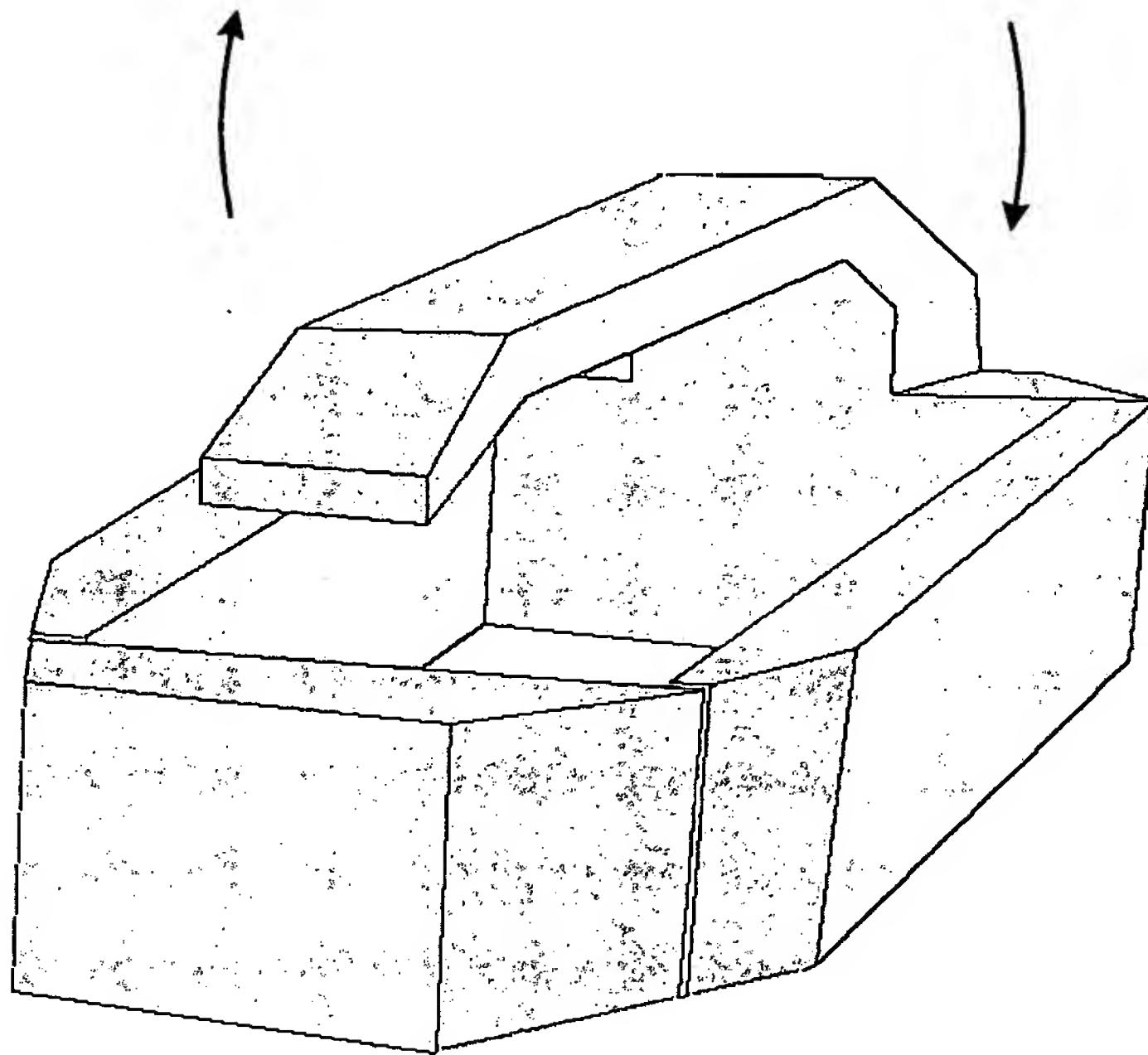
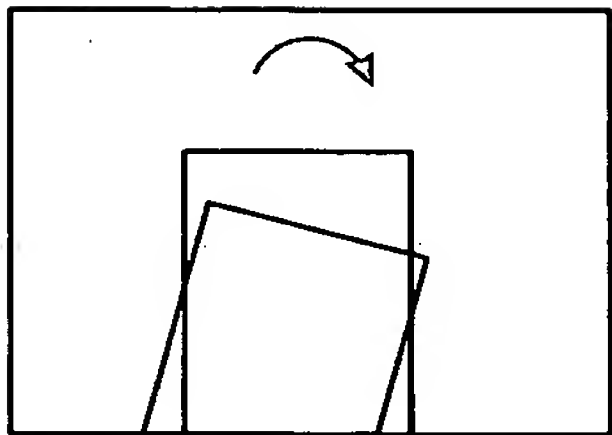


Fig. 18

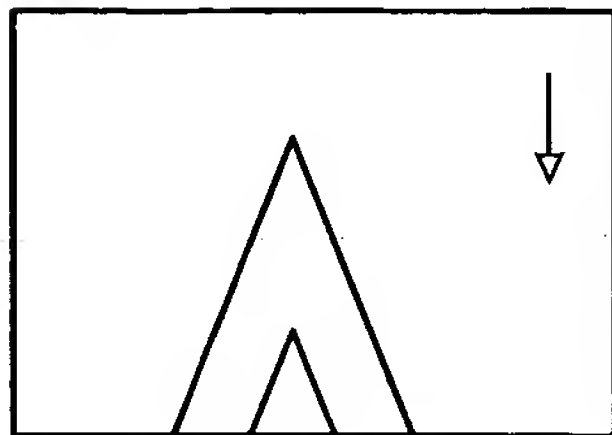
19/23



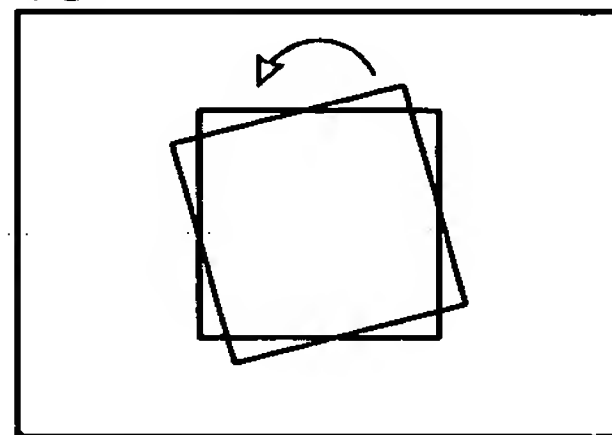
V1



V2



V3



V4

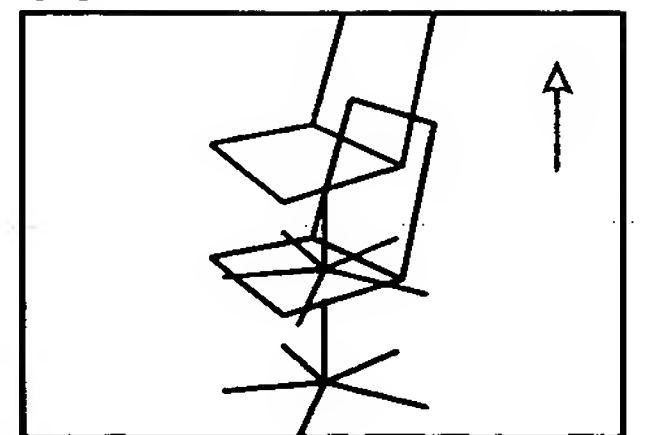


Fig. 19

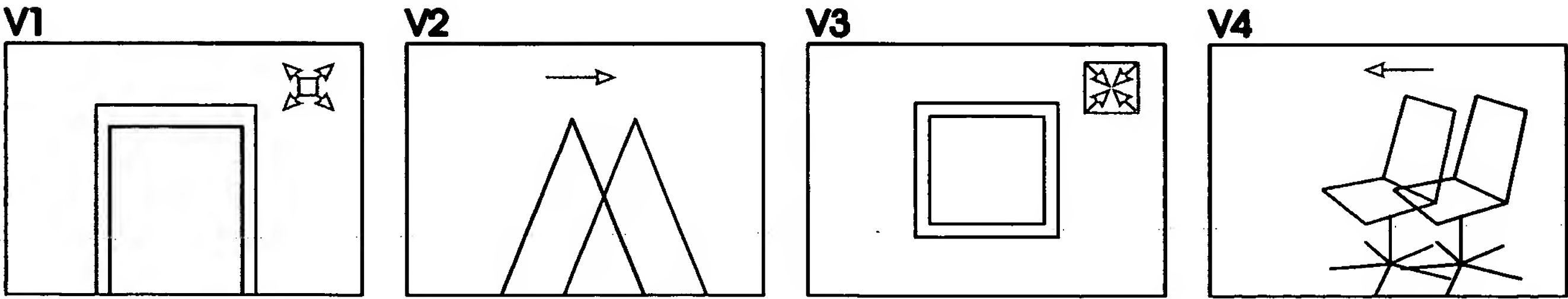
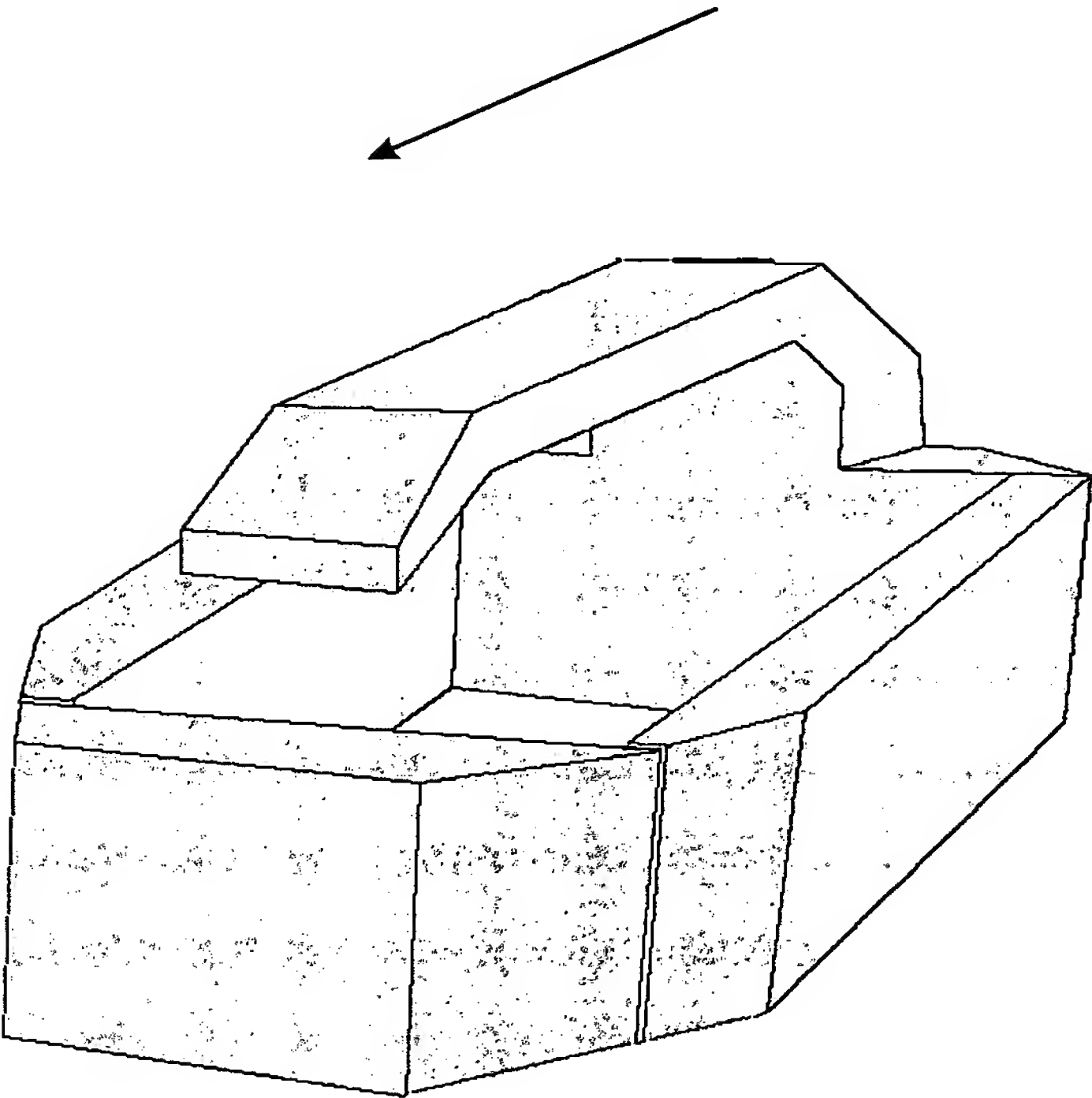


Fig. 20

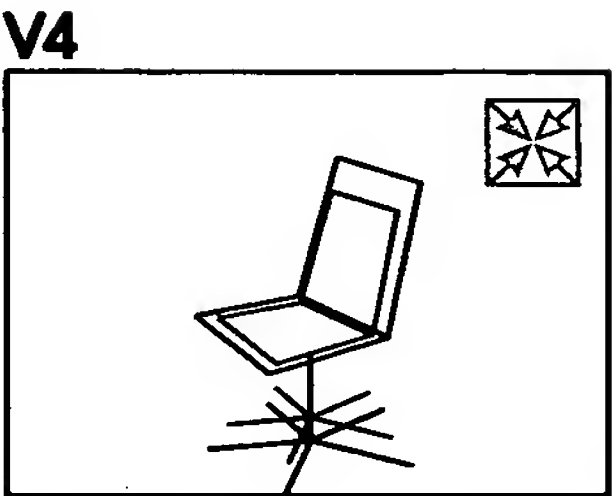
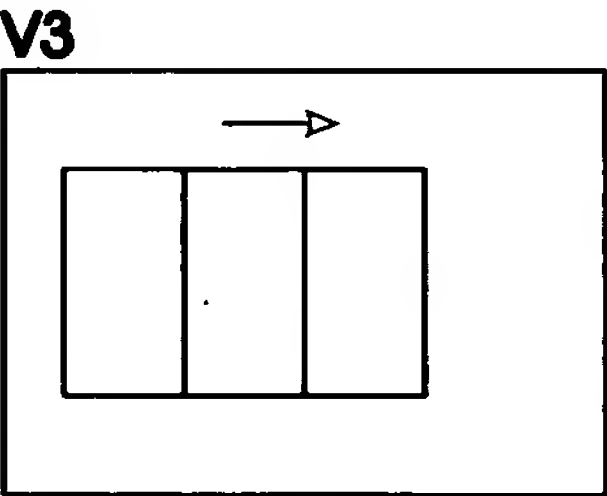
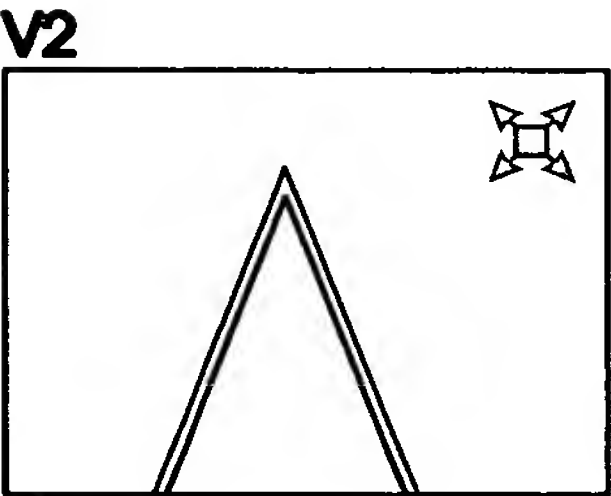
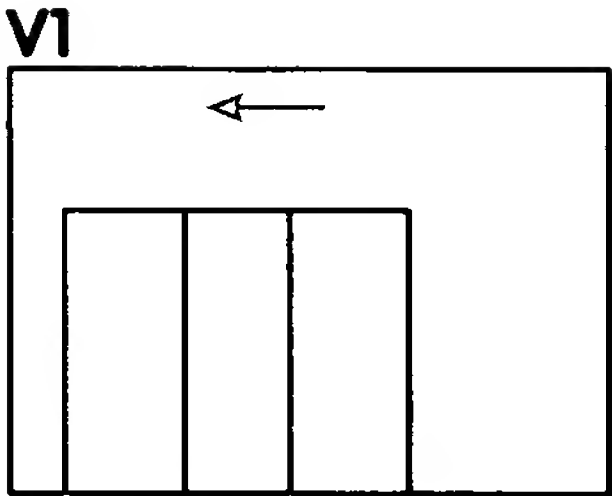
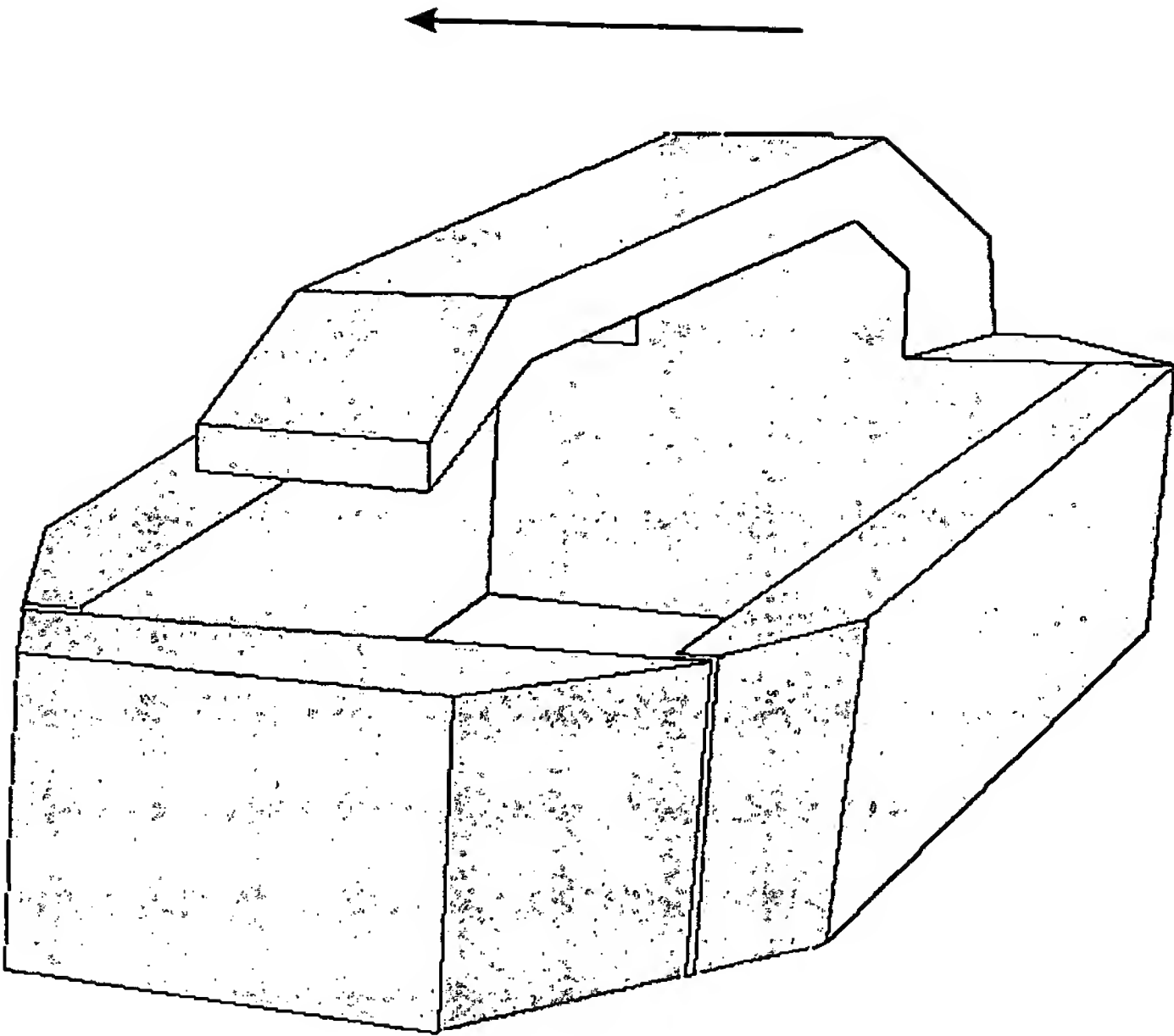


Fig. 21

22/23

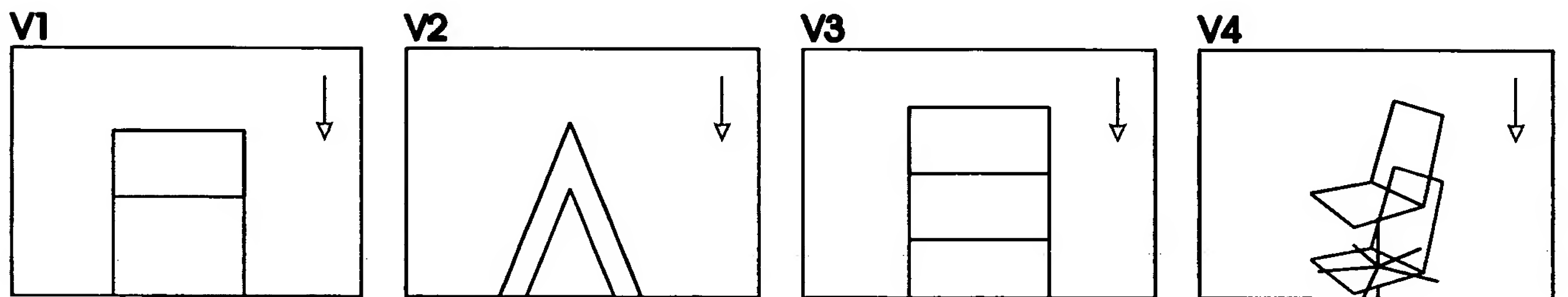
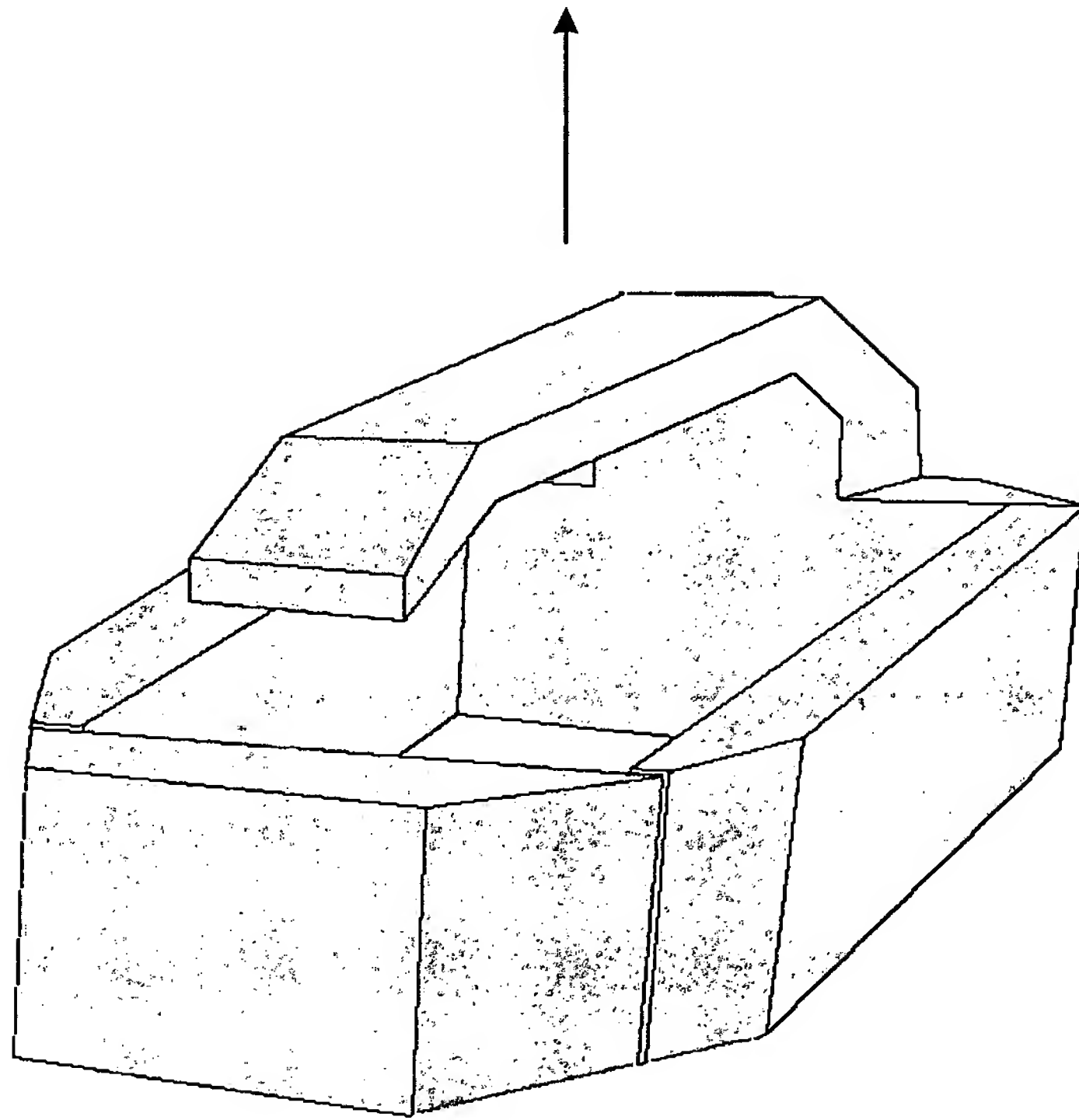


Fig. 22

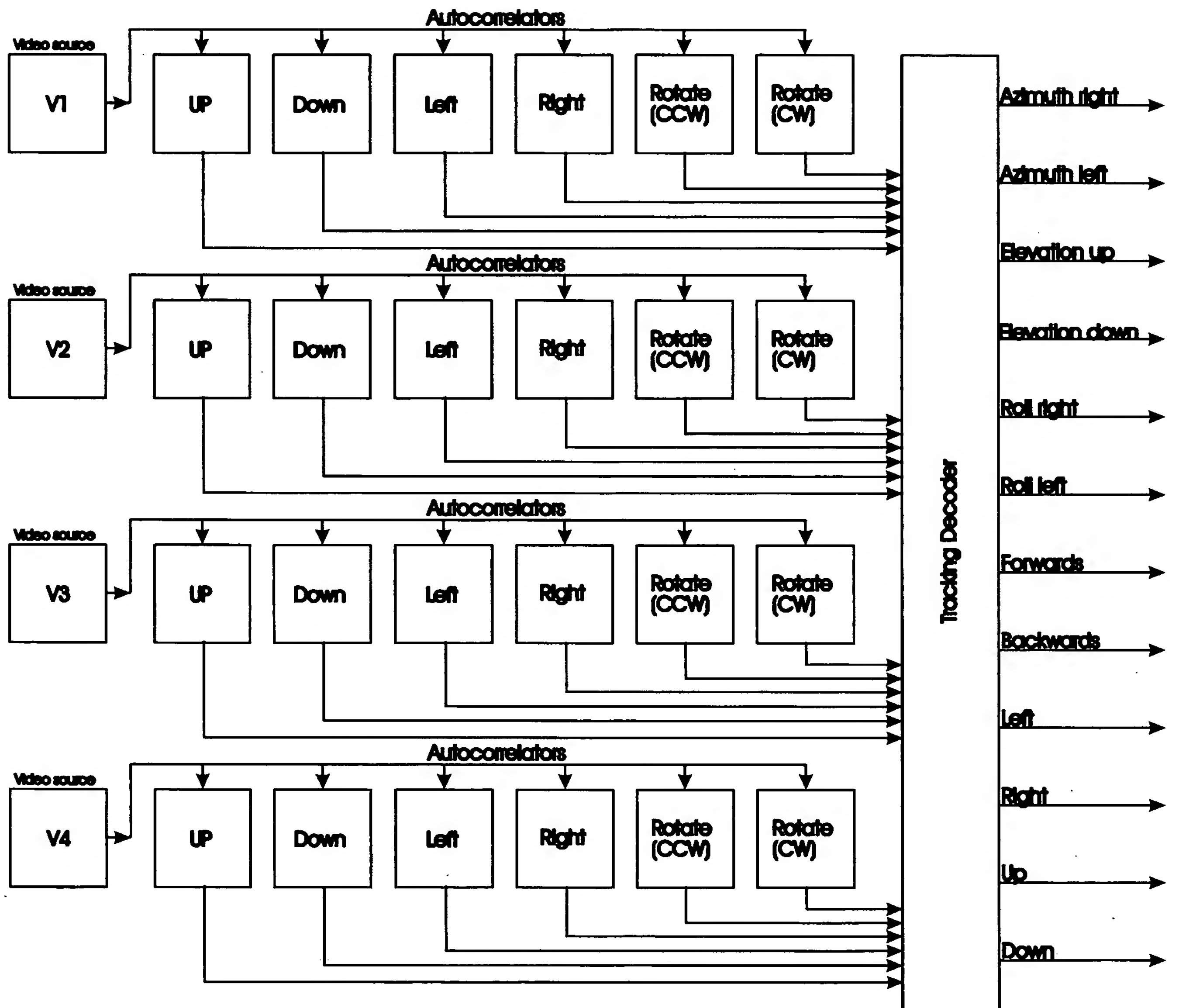


Fig. 23